

ГОСУДАРСТВЕННЫЙ КОМИТЕТ РОССИЙСКОЙ ФЕДЕРАЦИИ  
ПО ВЫСШЕМУ ОБРАЗОВАНИЮ  
НИЖЕГОРОДСКИЙ ГОСУДАРСТВЕННЫЙ УНИВЕРСИТЕТ  
ИМ. Н. И. ЛОБАЧЕВСКОГО

---

## КОЛЕБАТЕЛЬНЫЕ КОНТУРЫ

(Методические указания)

Нижегород, 1994

УДК 621.391.828

Колебательные контуры: Методические указания /Сост.  
С.М.Рыжаков.- Н.Новгород: ННГУ, 1994. - 37 с.

Методические указания к практическим занятиям разработаны в соответствии с программой курса "Теоретические основы радиотехники" для студентов, обучающихся по специальности 0715 (радиофизика и электроника). Указания содержат основные теоретические сведения по последовательным, параллельным и связанным колебательным контурам и задачи, предлагаемые студентам для самостоятельного решения.

Рис. 39

Составитель к.т.н. С.М.Рыжаков

Рецензент к.т.н. Ю.Г.Белов

РАЗДЕЛ I.

ПОСЛЕДОВАТЕЛЬНЫЙ КОЛЕБАТЕЛЬНЫЙ КОНТУР

I.1. Резонанс напряжений в последовательном контуре

Такой контур образован последовательным соединением индуктивности  $L$ , емкости  $C$ , активного сопротивления потерь  $R$  и источника (генератора) гармонической ЭДС  $e(t) = E \cos(\omega t + \theta_0)$  - рис. I.1. Сопротивление  $R$  в общем случае включает в себя

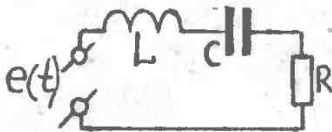


Рис. I.1

где  $\dot{E} = E \exp j\theta_0$   
будем полагать  $\theta_0 = 0$ ,  $\dot{E} = E$ );  $\dot{Z} = R + j(\omega L - 1/\omega C) =$

собственные потери контура и внутреннее сопротивление генератора.

Комплексная амплитуда тока в контуре<sup>\*)</sup>  $\dot{i} = \frac{\dot{E}}{R + j(\omega L - 1/\omega C)} =$

$$= \frac{\dot{E}}{\dot{Z}} = \frac{E}{|\dot{Z}|} \exp j(\theta_0 - \varphi), \quad (I.1)$$

- комплексная амплитуда ЭДС (далее

$= R + jX = |\dot{Z}| \exp j\varphi$ ,  $|\dot{Z}| = \sqrt{R^2 + X^2}$  - модуль  
полного сопротивления последовательного контура,  $\varphi = \arctg X/R$  -

- сдвиг фазы тока относительно фазы ЭДС. Положительные значения угла  $\varphi$  соответствуют отставанию фазы тока, а отрицательные - опережению. Мгновенное значение тока в контуре

$$i(t) = \frac{E}{\sqrt{R^2 + (\omega L - 1/\omega C)^2}} \cos(\omega t - \varphi). \quad (I.2)$$

Комплексные амплитуды напряжений на индуктивности и емкости

$$\dot{U}_L = j\omega L \dot{i} = \frac{j\omega L \cdot E}{R + j(\omega L - 1/\omega C)} = \frac{E\omega L}{|\dot{Z}|} e^{-j(\varphi - \pi/2)} \quad (I.3)$$

$$\dot{U}_C = \frac{1}{j\omega C} \dot{i} = \frac{E}{j\omega C [R + j(\omega L - 1/\omega C)]} = \frac{E}{\omega C |\dot{Z}|} e^{-j(\varphi + \pi/2)} \quad (I.4)$$

\*) Точка над символом означает, что имеем дело с комплексной величиной.

Если частота источника ЭДС подобрана так, что

$$\omega = \omega_p = \frac{1}{\sqrt{LC}}, \quad (1.5)$$

то реактивное сопротивление  $X$  контура на частоте  $\omega_p$  равно нулю, т.е.  $X(\omega_p) = \omega_p L - 1/\omega_p C = 0$ , а  $|Z| = R$ ,  $\varphi = 0$ . При этом амплитуда тока в контуре достигает максимума

$$I_p = I(\omega_p) = \frac{E}{R}. \quad (1.6)$$

Частоту  $\omega_p$  называют резонансной частотой контура. Амплитуды напряжений на индуктивности и емкости на частоте  $\omega_p$

$$U_{Lp} = E \cdot \frac{\omega_p L}{R}, \quad U_{Cp} = E \cdot \frac{1}{\omega_p C R}. \quad (1.7)$$

Так как  $\omega_p L = 1/\omega_p C$ , то  $U_{Lp} = U_{Cp}$ . Сопротивления  $\omega_p L = 1/\omega_p C$  обозначаются через  $\rho$  и называются волновым или характеристическим сопротивлением последовательного контура

$$\rho = \omega_p L = \frac{1}{\omega_p C} = \sqrt{\frac{L(\Gamma_H)}{C(\varphi)}} \quad (\text{Ом}). \quad (1.8)$$

На практике обычно  $\rho \gg R$ , поэтому одинаковые по величине амплитуды резонансных напряжений на индуктивности и емкости

$U_{Lp} = U_{Cp} = E\rho/R$  могут во много раз превышать амплитуду  $E$  внешней ЭДС. Отсюда и происходит название - резонанс напряжений. Безразмерная величина

$$Q = \frac{U_{Lp}}{E} = \frac{U_{Cp}}{E} = \frac{\rho}{R} = \frac{\omega_p L}{R} = \frac{1}{\omega_p C R} \quad (1.9)$$

называется добротностью последовательного контура. Величина  $Q$  показывает, во сколько раз напряжение на емкости (или индуктивности) при резонансе больше, чем амплитуда подводимой ЭДС. Обычно на практике  $Q = 50 + 200$ .

## 1.2. Резонансная кривая и фазовая характеристика последовательного контура. Полоса пропускания

Знание частотных зависимостей  $I(\omega)$  и  $\varphi(\omega)$  необходимо для суждения об избирательности контура, под которой понимают

способность к выделению сигналов заданной области частот и ослаблению сигналов других частот. Зависимость  $\mathcal{H}(\omega)$  определяется модулем выражения (I.I)

$$\mathcal{H}(\omega) = \frac{E}{\sqrt{R^2 + (\omega L - 1/\omega C)^2}} = \frac{\mathcal{I}_p}{\sqrt{1 + (\omega L - 1/\omega C)^2/R^2}} = \frac{\mathcal{I}_p}{\sqrt{1 + Q^2 \left(\frac{\omega}{\omega_p} - \frac{\omega_p}{\omega}\right)^2}}$$

Безразмерное отношение

$$n = \frac{\mathcal{H}(\omega)}{\mathcal{I}_p} = \frac{1}{\sqrt{1 + Q^2 \left(\frac{\omega}{\omega_p} - \frac{\omega_p}{\omega}\right)^2}} \quad (\text{I.IO})$$

есть уравнение резонансной кривой последовательного колебательного контура. Фазовая характеристика, выражающая частотную зависимость сдвига фазы тока в контуре относительно фазы ЭДС, определяется выражением

$$\varphi = \arctg \frac{X}{R} = \arctg \frac{\omega L - 1/\omega C}{R} = \arctg \left[ Q \left( \frac{\omega}{\omega_p} - \frac{\omega_p}{\omega} \right) \right]. \quad (\text{I.II})$$

На рис. I.2 и рис. I.3 приведены построенные по формулам (I.IO) и (I.II) графики  $n(\omega/\omega_p)$  и  $\varphi(\omega/\omega_p)$  при разных  $Q$ . При повышении  $Q$  резонансные кривые становятся более острыми, а фазовые характеристики в области частот, близких к  $\omega_p$  - более крутыми.

Относительной расстройкой  $\mathcal{E}$  называется величина  $\mathcal{E} = \Delta\omega/\omega_p$ , где  $\Delta\omega = \omega - \omega_p$  - абсолютная расстройка частоты  $\omega$  внешней ЭДС относительно резонансной частоты  $\omega_p$  контура. Если относительная расстройка  $\mathcal{E}$  мала, т.е.  $\mathcal{E} = \Delta\omega/\omega_p \ll 1$  или  $\Delta\omega \ll \omega_p$ ,  $\frac{\omega}{\omega_p}$ , то можно положить  $\omega \approx \omega_p$  и записать выражение  $\left(\frac{\omega}{\omega_p} - \frac{\omega_p}{\omega}\right)$  в виде

$$\frac{\omega}{\omega_p} - \frac{\omega_p}{\omega} = \frac{(\omega - \omega_p)(\omega + \omega_p)}{\omega_p \omega} \approx \frac{2\Delta\omega}{\omega_p}, \quad (\text{I.I2})$$

а выражения (I.IO) и (I.II) с учетом (I.I2) представить в виде

$$n \approx \frac{1}{\sqrt{1 + Q^2}}, \quad \varphi \approx \arctg \alpha, \quad (\text{I.I3})$$

где безразмерная величина

$$\alpha = \frac{2\Delta\omega}{\omega_p} Q = 2\varepsilon \cdot Q \quad (1.14)$$

называется обобщенной расстройкой контура. Зависимости  $\eta(\alpha)$  и

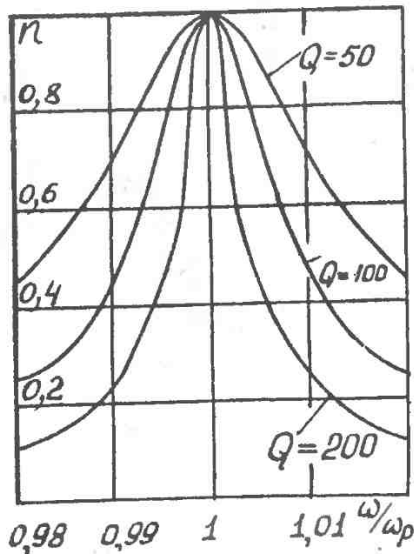


Рис. 1.2

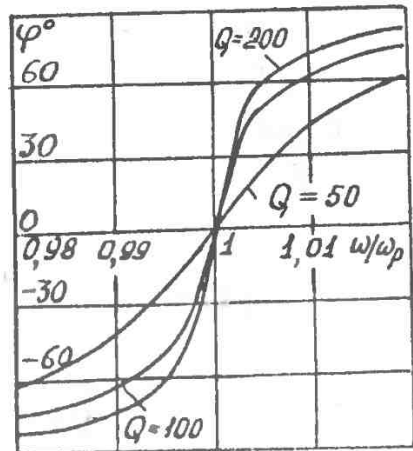


Рис. 1.3

$\varphi(\alpha)$  определяют резонансную кривую и фазовую характеристику последовательного контура вблизи резонансной частоты.

В радиотехнических схемах последовательный контур часто используется как четырехполосник, когда выходное напряжение снимается с емкости - рис. 1.4.

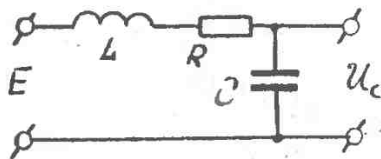


Рис. 1.4

При этом комплексный коэффициент передачи четырехполосника равен

$$\dot{K}_c(j\omega) = \frac{\dot{U}_c}{\dot{E}} = \frac{1/j\omega C}{R + j(\omega L - 1/\omega C)} = |\dot{K}_c(j\omega)| e^{-j\varphi_c} \quad , \text{ где}$$

$$|\dot{K}_c(j\omega)| = \frac{Q\omega_p/\omega}{\sqrt{1 + Q^2\left(\frac{\omega}{\omega_p} - \frac{\omega_p}{\omega}\right)^2}} \quad (I.15)$$

модуль коэффициента передачи, представляющий амплитудно-частотную характеристику (АЧХ) последовательного контура; график зависимости (I.15) есть в то же время резонансная кривая последовательного контура по напряжению;

$$\varphi_c = \arctg Q\left(\frac{\omega}{\omega_p} - \frac{\omega_p}{\omega}\right) + \frac{\pi}{2}$$

- сдвиг фазы напряжения на емкости относительно фазы ЭДС.

На резонансной частоте  $\omega = \omega_p$  имеем  $|\dot{K}_c(j\omega_p)| = Q$ ,  $\varphi_c = \pi/2$ . Разделив (I.15) на  $Q$ , получим уравнение резонансной кривой по напряжению последовательного контура

$$\eta_c = \frac{|\dot{K}_c(j\omega)|}{|\dot{K}_c(j\omega_p)|} = \frac{|\dot{U}_c|}{U_{cp}} = \frac{\omega_p/\omega}{\sqrt{1 + Q^2\left(\frac{\omega}{\omega_p} - \frac{\omega_p}{\omega}\right)^2}} \quad (I.16)$$

Вычислив  $d\eta_c/dx$ , где  $x = \omega/\omega_p$ , приравняв производную нулю, получим, что функция  $\eta_c(x)$  достигает максимума на частоте

$$\omega_1 = \omega_p \sqrt{1 - \frac{1}{2Q^2}} \quad (I.17)$$

Частоты  $\omega_1$  и  $\omega_p$  могут заметно отличаться между собой при небольшой добротности  $Q$  контура. Для контуров с добротностью  $Q = 50 + 100$ , которые обычно применяются в радиотехнике, различие между частотами  $\omega_1$  и  $\omega_p$  столь незначительно, что может не приниматься во внимание.

Сравнение резонансных кривых по току (I.10) и напряжению (I.16) показывает, что они отличаются лишь множителем  $\omega_p/\omega$ . Это различие заметно не проявляется, так как отклонение множителя  $\omega_p/\omega$  от единицы обычно не превышает нескольких процентов.

В радиотехнике условились определять полосу пропускания колебательного контура как полосу частот вблизи резонанса, на границах которой амплитуда тока в контуре (или амплитуда напряжения

на емкости или индуктивности) снижается до  $1/\sqrt{2} \approx 0,7$  от резонансного значения; при этом амплитуда действующей на контур ЭДС считается неизменной. Поло-

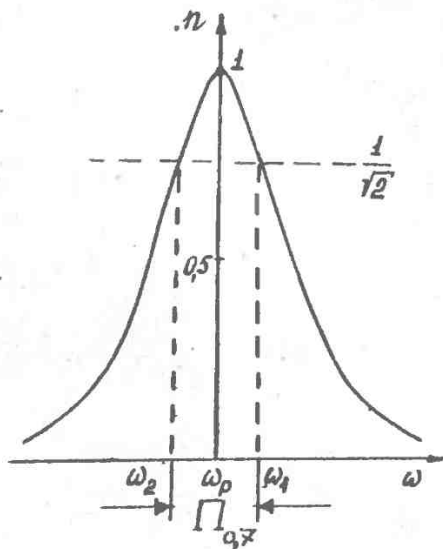


Рис. I.5

жение полосы пропускания на резонансной кривой показано на рис. I.5. При высокой добротности ( $Q \gg 1$ ) полоса пропускания симметрична относительно резонансной частоты  $\omega_p$ , поэтому  $\omega_1 - \omega_p = \omega_p - \omega_2$ . На границах полосы пропускания обобщенная расстройка  $A=1$ , т.е.

$$\frac{2\Delta\omega}{\omega_p} Q = \frac{\Pi_{0,7} Q}{\omega_p} = 1,$$

откуда

$$\Pi_{0,7} = \frac{\omega_p}{Q}. \quad (I.16)$$

Это выражение используют для экспериментального определения  $Q$ . С этой

целью изменяют частоту ЭДС, действующей в контуре, до снижения показания измерительного прибора, регистрирующего ток в контуре, до 0,7 от максимального значения, соответствующего частоте  $\omega_p$ . Измерив частоты  $\omega_1$  и  $\omega_2$ , зная  $\omega_p$ , находят  $Q = \frac{\omega_p}{(\omega_1 - \omega_2)}$ .

### I.3. Задачи

I.1. Заданы резонансная частота последовательного контура  $f_p = 2$  МГц, ширина полосы пропускания  $\Pi_{0,7} = 16$  кГц и сопротивление потерь  $R_i = 12$  Ом. Рассчитать параметры реактивных элементов.

I.2. Последовательный контур с добротностью  $Q = 120$ ,  $L = 220$  мкГн,  $C = 535$  пФ подключен к источнику энергии с внутренним сопротивлением  $R_i = 17$  Ом - рис. I.6. Определить резонансную частоту и полосу пропускания контура.

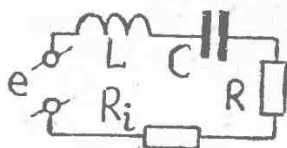


Рис. 1.6

Найти, при каком соотношении сопротивлений  $R$  и  $R_i$  в контуре выделяется максимальная мощность при резонансе.

1.3. Вычислить резонансную частоту и добротность контура, состоящего из последовательно соединенных  $R = 5,1 \text{ Ом}$ ,  $L = 65 \cdot 10^{-6} \text{ Гн}$ ,  $C = 1,56 \cdot 10^{-9} \text{ Ф}$ . Определить сопротивление цепи при частоте, превышающей резонансную на 1%.

1.4. Последовательный контур с индуктивностью  $2 \text{ мГн}$  настроен на частоту  $f_p = 160 \text{ кГц}$ . Сопротивление потерь  $R = 40 \text{ Ом}$ . Каким сопротивлением  $R_{\text{ш}}$  следует зашунтировать катушку индуктивности, чтобы полоса пропускания  $\Pi_{0,7}$  была равна  $10 \text{ кГц}$ ?

1.5. Последовательный контур имеет емкость  $C = 2000 \text{ пФ}$  и сопротивление потерь  $R = 2 \text{ Ом}$ . Контур настроен на длину волны  $\lambda = 1000 \text{ м}$ . Пропустит ли контур полосу частот  $2 \text{ кГц}$  с ослаблением на граничных частотах, не превышающим 20%? Если не пропустит, то как следует изменить параметры контура, чтобы удовлетворить поставленному условию?

1.6. Найти выражение для коэффициента передачи  $\dot{K}(j\omega) = \dot{U}_{\text{вых}}(j\omega) / \dot{U}_{\text{вх}}(j\omega)$  контура, изображенного на рис. 1.7. Сопротивление  $R_2$  можно рассматривать либо как сопротивление утечки конденсатора, либо как входное сопротивление последующего каскада. Найти выражение для резонансной частоты  $\omega_p$  такой колебательной системы. Вычислить  $|\dot{K}(\omega_p)|$ .

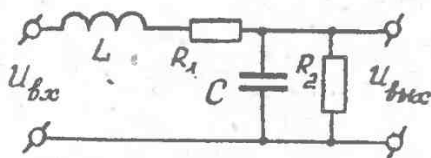


Рис. 1.7

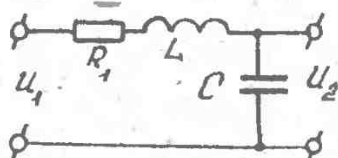


Рис. 1.8

1.7. Дан последовательный контур (рис. 1.8), имеющий активное сопротивление  $R_1 = 10 \text{ Ом}$ . Вольтметром с бесконечно большим входным сопротивлением измерили добротность контура  $Q$ , которая оказалась равной 100, т.е.  $U_2/U_1 = 100$  на резонансной частоте. Затем были произведены эти же измерения вольтметром, входное сопротивление которого  $R_2 = 10^5 \text{ Ом}$ . Рассчитать амплитуду напряжения на конденсаторе в последнем случае, если на вход подается напряжение с амплитудой  $U_1 = 1 \text{ В}$ .

1.8. На последовательный контур воздействуют синусоидальные напряжения с частотами  $\omega_p, 2\omega_p, 3\omega_p, \dots, n\omega_p$  ( $n=2,3,4,\dots$ ), но с одинаковыми амплитудами;  $\omega_p$  - резонансная частота контура. Найти соотношение между токами, вызванными этими напряжениями.

1.9. На последовательный контур подается амплитудно-модулированное колебание  $u = u_0(1 + m \sin \Omega t) \cdot \sin \omega_p t$ . Определить ток в контуре, считая, что он настроен в резонанс с частотой  $\omega_p$ .

Рассчитать, как изменится коэффициент модуляции  $m$  и сдвиг по фазе огибающей, если  $f_p = 300 \text{ кГц}$ ,  $C = 10^3 \text{ пФ}$ ,  $F_1 = 1000 \text{ Гц}$ ,  $m = 0,7$ ,  $R = 10 \text{ Ом}$ ,  $F_2 = 10000 \text{ Гц}$ , где  $F_1$  и  $F_2$  - частоты модулирующего синусоидального колебания.

1.10. На последовательный контур с параметрами  $L = 10 \text{ мГн}$ ,  $C = 100 \text{ пФ}$ ,  $R = 100 \text{ Ом}$  подается сигнал

$$u(t) = 10 \sin \frac{\omega_p t}{2} + 10 \sin \omega_p t + 10 \sin 2\omega_p t, \text{ В.}$$

Контур настроен на частоту  $\omega_p$ . Найти ток в контуре  $i(t)$ . Нарисовать спектры входного сигнала и тока.

1.11. Для показанной на рис. 1.9 цепи найти значение индуктивности  $L_0$ , при которой

ток  $\mathcal{I}$  совпадает по фазе с напряжением питания  $U$ , если  $R = 2 \text{ Ом}$ ,  $L = 2 \text{ мГн}$ ,  $C = 0,25 \cdot 10^{-3} \text{ Ф}$ .

$$\omega = 2 \cdot 10^3 \frac{\text{рад}}{\text{сек.}}$$

Построить частотную характеристику входного реактивного

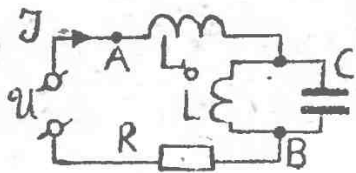


Рис. 1.9

его сопротивление контура между точками А и В.

ПАРАЛЛЕЛЬНЫЙ КОЛЕБАТЕЛЬНЫЙ КОНТУР

2.1. Резонансная частота и сопротивление параллельного контура при резонансе

Пусть генератор (или источник входного сигнала) с внутренним сопротивлением  $R_i$  подключен к колебательному контуру параллельно - рис. 2.1. В общем случае каждая из ветвей контура может

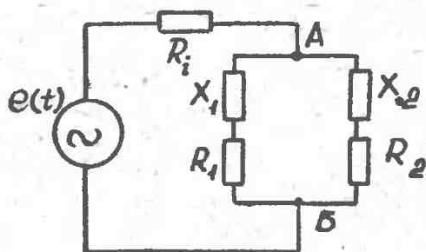


Рис. 2.1

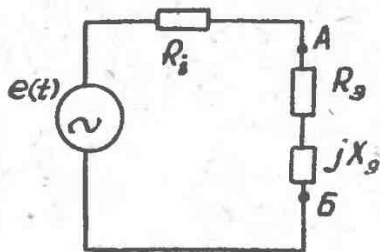


Рис. 2.2

содержать индуктивности, емкости и сопротивления. Обозначим

$$\dot{Z}_1 = R_1 + jX_1, \quad \dot{Z}_2 = R_2 + jX_2$$

где  $X_1$  и  $X_2$ ;  $R_1$  и  $R_2$  - результирующие реактивные и активные сопротивления параллельных ветвей. Сопротивление контура между точками А и Б равно

$$\dot{Z}_{AB} = \frac{\dot{Z}_1 \dot{Z}_2}{\dot{Z}_1 + \dot{Z}_2} = \frac{(R_1 + jX_1)(R_2 + jX_2)}{R_1 + R_2 + j(X_1 + X_2)} = R_3 + jX_3, \quad (2.1)$$

где

$$R_3 = \frac{R_2(X_1^2 + R_1^2) + R_1(X_2^2 + R_2^2)}{(R_1 + R_2)^2 + (X_1 + X_2)^2}, \quad (2.2)$$

$$X_3 = \frac{X_1(X_2^2 + R_2^2) + X_2(X_1^2 + R_1^2)}{(R_1 + R_2)^2 + (X_1 + X_2)^2} \quad (2.3)$$

соответственно активная и реактивная составляющие сопротивления  $\dot{Z}_{16}$ . Таким образом, заменили параллельный контур эквивалентным ему последовательным контуром - рис. 2.2, который называют схемой замещения параллельного контура (см. § 2.5).

Резонансные частоты параллельного контура находятся из условия равенства нулю реактивной составляющей  $X_3$  входного сопротивления

$$X_1(X_2^2 + R_2^2) + X_2(X_1^2 + R_1^2) = 0. \quad (2.4)$$

Формула (2.4) является точной расчетной формулой для определения частоты параллельного резонанса. На высоких частотах обычно выполняются неравенства

$$R_1 \ll |X_1|, \quad R_2 \ll |X_2|, \quad (2.5)$$

поэтому уравнение (2.4) принимает вид

$$X_1 \cdot X_2 (X_1 + X_2) = 0. \quad (2.6)$$

Любой из этих трех сомножителей в общем случае может быть равен нулю.

Если  $X_1 = 0$ , то имеет место последовательный резонанс (резонанс напряжений) в левой ветви - рис. 2.1;

если  $X_2 = 0$ , то имеет место последовательный резонанс (резонанс напряжений) в правой ветви - рис. 2.1;

если  $X_1 + X_2 = 0$ , то имеет место параллельный резонанс - резонанс токов. Формула

$$X_1 + X_2 = 0 \quad (2.7)$$

является приближенной расчетной формулой для определения частоты параллельного резонанса. Таким образом, в параллельном колебательном контуре с малыми потерями резонанс токов наступает в том

случае, когда реактивные сопротивления ветвей равны друг другу по абсолютной величине и противоположны по знаку ( $X_1 = -X_2$ ). Подставив (2.7) в (2.2), получим с учетом неравенств (2.5)

$$R_3 = R_{gp} = \frac{X_1^2}{R_1 + R_2} = \frac{X_2^2}{R_1 + R_2} = \frac{X_{1,2}^2}{R_1 + R_2}. \quad (2.8)$$

Сопротивление  $R_{gp}$ , вычисленное на частоте параллельного резонанса, имеет чисто активный характер.

Применим формулы (2.4), (2.7) и (2.8) к трем схемам параллельных контуров.

## 2.2. Простой параллельный контур (контур I-го вида).

Резонанс токов в параллельном контуре

Схема простого контура, или, как его еще называют, контура I-го вида, показана на рис. 2.3. Здесь левая ветвь не содержит емкостей, а правая — индуктивностей. Активные сопротивления  $R_1$  и  $R_2$  учитывают потери в катушке и конденсаторе, причем обычно  $R_1 \gg R_2$ . Подставив в (2.4)  $X_1 = \omega_p L$ ,  $X_2 = -\frac{1}{\omega_p C}$ , получим точное выражение для частоты параллельного резонанса контура I-го вида

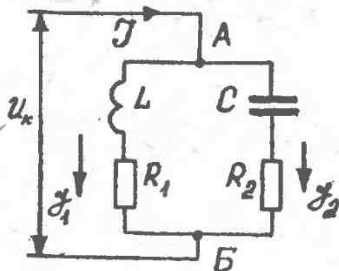


Рис. 2.3

где  $\rho = \sqrt{L/C}$  — волновое или характеристическое сопротивление контура I-го вида.

Подставив  $X_1 = \omega_p L$ ,  $X_2 = -1/\omega_p C$  в (2.7), получим приближенное выражение для резонансной частоты контура I-го вида

$$\omega_p \approx \frac{1}{\sqrt{LC}}, \quad (2.10)$$

совпадающее с выражением для резонансной частоты последовательного контура.

Здесь левая ветвь не содержит емкостей, а правая — индуктивностей. Активные сопротивления  $R_1$  и  $R_2$  учитывают потери в катушке и конденсаторе, причем обычно  $R_1 \gg R_2$ . Подставив в (2.4)  $X_1 = \omega_p L$ ,  $X_2 = -\frac{1}{\omega_p C}$ , получим точное выражение для частоты параллельного резонанса контура I-го вида

$$\omega_p = \frac{1}{\sqrt{LC}} \cdot \sqrt{\frac{\rho^2 - R_1^2}{\rho^2 - R_2^2}} \quad (2.9)$$

Подставив, наконец,  $X_1 = \omega p L$ ,  $X_2 = -1/\omega p C$ ,  $\omega p = 1/\sqrt{LC}$  и  $R = R_1 + R_2$  в (2.8), получим выражение для сопротивления простого параллельного контура при резонансе

$$R_{\text{Эр}} = \frac{\omega p^2 L^2}{R} = \frac{1}{\omega p^2 C^2 R} = \frac{L}{CR} = \frac{\rho^2}{R} = Q\rho, \quad (2.11)$$

где  $Q = \rho/R$  - добротность простого параллельного контура. Обычно  $R_{\text{Эр}}$  имеет величину несколько килоом.

Рассмотрим распределение токов при резонансе в простом параллельном контуре. Пусть  $\dot{I}$  - ток в неразветвленной части контура (ток генератора), а  $\dot{I}_1$  и  $\dot{I}_2$  - токи в индуктивной и емкостной ветвях - рис. 2.3. Напряжение  $\dot{U}_k$  на контуре

$$\dot{U}_k = R_{\text{Эр}} \dot{I} = \dot{I}_1 (R_1 + j\omega p L) = \dot{I}_2 (R_2 - j \frac{1}{\omega p C}), \quad \text{откуда}$$

$$\dot{I}_1 = \frac{\dot{U}_k}{R_1 + j\omega p L} = \frac{\dot{I} R_{\text{Эр}}}{R_1 + j\omega p L} = \dot{I} \frac{R_{\text{Эр}} e^{-j\varphi_1}}{\sqrt{R_1^2 + (\omega p L)^2}}, \quad (2.12)$$

$$\dot{I}_2 = \frac{\dot{U}_k}{R_2 - j \frac{1}{\omega p C}} = \frac{\dot{I} R_{\text{Эр}}}{R_2 - j \frac{1}{\omega p C}} = \dot{I} \frac{R_{\text{Эр}} e^{-j\varphi_2}}{\sqrt{R_2^2 + (\frac{1}{\omega p C})^2}}, \quad (2.13)$$

где  $\varphi_1 = \arctg \omega p L / R_1$ ,  $\varphi_2 = \arctg (-1/\omega p C R_2)$ .  
Угол  $\varphi_1$  запаздывающий, а  $\varphi_2$  - опережающий фазу тока  $\dot{I}$  и, следовательно, фазу напряжения  $\dot{U}_k$ .

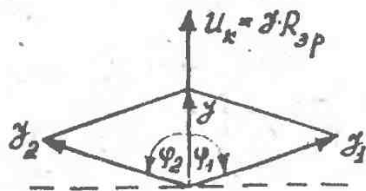


Рис. 2.4

Векторная диаграмма токов и напряжений в простом параллельном контуре при резонансе представлена на рис. 2.4. Поскольку  $|X_1| = \omega p L \gg R_1$ ,  $|X_2| = \frac{1}{\omega p C} \gg R_2$ , т.е. выполняются неравенства (2.5), то углы  $\varphi_1$  и  $\varphi_2$

по абсолютной величине близки к  $\pi/2$ . Следовательно, токи  $\mathcal{I}_1$  и  $\mathcal{I}_2$  сдвинуты между собой по фазе на угол, близкий к  $\pi$ , а их амплитуды почти одинаковы. Можно считать, что токи ветвей  $\mathcal{I}_1$  и  $\mathcal{I}_2$  образуют как бы один контурный ток  $\mathcal{I}_k$ , обтекающий последовательно все элементы контура

$$\mathcal{I}_k \approx \mathcal{I}_1 \approx \mathcal{I}_2. \quad (2.14)$$

Из (2.12) и (2.13) с учетом (2.5) следует

$$\mathcal{I}_k = \mathcal{I}_1 \approx \frac{R_{зп} \mathcal{I}}{\omega_p L} = \frac{\rho^2 \mathcal{I}}{R \rho} = Q \mathcal{I}; \quad \mathcal{I}_k = \mathcal{I}_2 \approx \frac{R_{зп} \mathcal{I}}{1/\omega_p C} = \frac{\rho^2 \mathcal{I}}{R \rho} = Q \mathcal{I}.$$

Таким образом, при резонансе ток  $\mathcal{I}_k$ , обтекающий контур, в  $Q$  раз больше, чем ток  $\mathcal{I}$  в неразветвленной части контура. Отсюда и происходит название "резонанс токов" или параллельный резонанс.

### 2.3. Сложные параллельные контура II-го и III-го видов

Пусть одна ветвь контура является чисто индуктивной, а вторая ветвь, кроме емкости, содержит еще и индуктивность - рис. 2.5а. Такой контур называют сложным параллельным контуром, а иногда параллельным контуром II-го вида. Для определения частоты параллель-

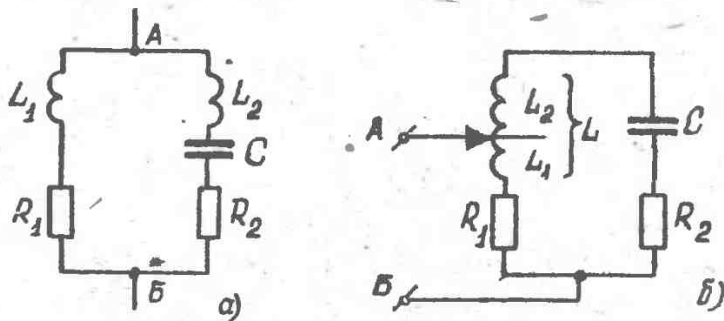


Рис. 2.5

ного резонанса контура II-го вида подставляем в (2.7)  $X_1 = \omega_p L_1$ ,  $X_2 = \omega_p L_2 - \frac{1}{\omega_p C}$ . Тогда  $\omega_p L_1 + \omega_p L_2 - \frac{1}{\omega_p C} = 0$ , откуда

$$\omega_p = \frac{1}{\sqrt{(L_1 + L_2)C}} = \frac{1}{\sqrt{LC}}, \quad (2.15)$$

где  $L = L_1 + L_2$ . Из условия  $X_2 = \omega_{pH} L - \frac{1}{\omega_{pH} C} = 0$  находим частоту  $\omega_{pH}$  последовательного резонанса (резонанса напряжений), имеющего место в правой ветви контура:  $\omega_{pH} = 1/\sqrt{L_2 C}$ . Обозначим через  $\rho$  отношение

$$\rho = \frac{L_1}{L_1 + L_2} = \frac{L_1}{L}. \quad (2.16)$$

Тогда  $X_1 = \omega_p L_1 = \rho \omega_p L$ . Из формулы (2.8) находим сопротивление параллельного контура П-го вида на частоте  $\omega_p$

$$R_{зп} = \frac{X_{1,2}^2}{R} = \rho^2 \frac{(\omega_p L)^2}{R} = \rho^2 \frac{\rho^2}{R} = \rho^2 \rho Q, \quad (2.17)$$

где  $R = R_1 + R_2$ ,  $\rho = \sqrt{(L_1 + L_2)/C} = \sqrt{L/C}$  - характеристическое сопротивление контура П-го вида. Коэффициент  $\rho$  называют коэффициентом включения. Формула (2.17) показывает, что перераспределение индуктивности между ветвями контура П-го вида дает удобный способ изменения активного сопротивления  $R_{зп}$  на частоте параллельного резонанса. При перераспределении индуктивности между ветвями контура его параметры (резонансная частота  $\omega_p$ , волновое сопротивление  $\rho = \sqrt{L/C}$  и добротность  $Q = \rho/R$ ) остаются неизменными. В практических схемах контур П-го вида выполняется так, как показано на рис. 2.56: при перестановке ползунка происходит изменение коэффициента включения  $\rho$ , что и позволяет изменить сопротивление  $R_{зп}$  между точками А и Б от нуля до наибольшей величины  $R_{зп макс} = \rho Q$ .

Пусть сложный параллельный контур содержит в индуктивной ветви емкость, а вторая ветвь является чисто емкостной - рис. 2.6. Такой контур называют еще контуром Ш-го вида. При  $X_1 = -\omega_{pH} L_1 - 1/\omega_{pH} C_1 = 0$  в левой ветви контура происходит последовательный резонанс на частоте  $\omega_{pH} = 1/\sqrt{L_1 C_1}$ . Для определения частоты параллельного резонанса подставляем в (2.7)

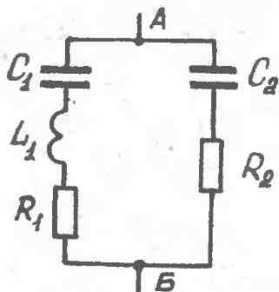


Рис. 2.6

$$X_1 = \omega_p L_1 - \frac{1}{\omega_p C_1} \quad \text{и}$$

$$X_2 = - \frac{1}{\omega_p C_2} \quad \text{Тогда}$$

$$\omega_p L_1 - \frac{1}{\omega_p C_1} = \frac{1}{\omega_p C_2}$$

откуда

$$\omega_p = 1/\sqrt{LC}, \quad (2.18)$$

где

$$C = \frac{C_1 C_2}{C_1 + C_2} \quad (2.19)$$

Обозначим через  $\rho$  коэффициент включения

$$\rho = C/C_2, \quad (2.20)$$

где  $C < C_1, C_2$ ;  $0 \leq \rho \leq 1$ . Тогда  $X_2 = -1/\omega_p C_2 = -\rho/\omega_p C$ . Из (2.8) находим сопротивление параллельного контура III-го вида (рис. 2.6) на резонансной частоте  $\omega_p$

$$R_{sp} = \frac{X_2^2}{R} = \frac{\rho^2}{\omega_p^2 C^2 R} = \rho^2 \frac{\rho^2}{R} = \rho^2 Q \rho, \quad (2.21)$$

где  $R = R_1 + R_2$ ,  $\rho = 1/\omega_p C = \sqrt{LC} = \sqrt{L(C_1 + C_2)C/C_2}$  характеристическое сопротивление контура III-го вида. Формула (2.21) показывает, что, изменяя соотношение между емкостями  $C_1$  и  $C_2$ , можно изменять резонансное сопротивление контура на частоте  $\omega_p$ . При этом емкости  $C_1$  и  $C_2$  нужно изменять так, чтобы суммарная емкость  $C$  - формула (2.19) - оставалась неизменной и, следовательно, параметры контура ( $\omega_p$ ,  $\rho$  и  $Q$ ) также оставались неизменными.

Контурь II-го и III-го видов широко используются на практике для построения ламповых и транзисторных трехточечных схем автогенераторов - емкостной трехточки (рис. 2.7а) и индуктивной трехточки (рис. 2.7б). Термин "трехточка" означает, что активный прибор соединяется с колебательным контуром в 3-х точках 1, 2 и 3. Для выполнения условия баланса фаз в трехточечной схеме автогенератора необходимо, чтобы напряжение  $U$  на контуре и напряжение обрат-

ной связи  $\dot{u}_o$ , снимаемое с емкости (рис. 2.7а) или с индуктив-

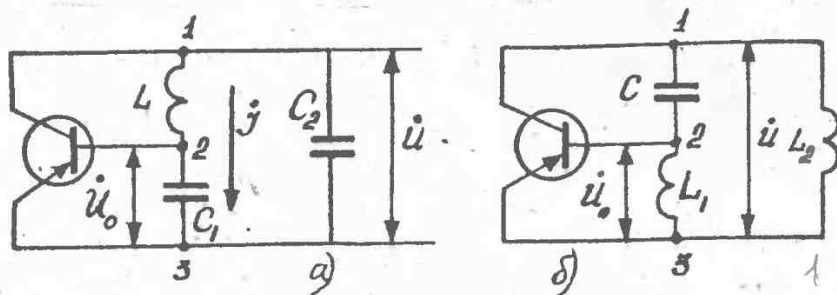


Рис. 2.7

ности (рис. 2.7б), находились в противофазе. Рассмотрим, как выполняется это условие, например, в схеме емкостной трехточки. Полагая, что ток базы  $\dot{I}_B \approx 0$ , находим ток  $\dot{I}$  в левой (индуктивной) ветви контура (рис. 2.7а)

$$\dot{I} = \frac{\dot{u}}{j\omega L + 1/j\omega C_1} = \frac{j\omega C_1 \dot{u}}{1 - (\omega/\omega_{\text{посл}})^2}$$

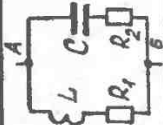
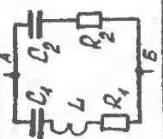
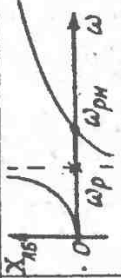
где  $\omega_{\text{посл}} = 1/\sqrt{LC_1}$  - частота последовательного резонанса левой ветви. Чтобы сопротивление контура между точками 1-3 (рис. 2.7а) имело индуктивный характер, необходимо выполнение неравенства  $\omega > \omega_{\text{посл}}$ , где  $\omega$  - возможная частота генерации. Находим напряжение  $\dot{u}_o$  на емкости  $C_1$ , являющееся в схеме автогенератора напряжением обратной связи

$$\dot{u}_o = \dot{I} C_1 = \frac{1}{j\omega C_1} \cdot \frac{j\omega C_1 \dot{u}}{1 - (\omega/\omega_{\text{посл}})^2} = \frac{-\dot{u}}{|1 - (\omega/\omega_{\text{посл}})^2|}$$

Отсюда следует, что напряжения  $\dot{u}_o$  и  $\dot{u}$  противофазны.

В таблице I приведены сравнительные характеристики контуров 3-х видов.

ТАБЛИЦА I

Схема → параметр ↓	контур I вида 	контур II вида 	контур III вида 
Частота параллельного резонанса	$\omega_p = 1/\sqrt{LC}$	$\omega_p = 1/\sqrt{LC}$ , где $L = L_1 + L_2$	$\omega_p = 1/\sqrt{LC}$ , где $C = \frac{C_1 C_2}{C_1 + C_2}$
Частота последовательного резонанса	—	$\omega_{pR} = 1/\sqrt{L_2 C} > \omega_p$	$\omega_{pR} = 1/\sqrt{L C_1} < \omega_p$
Вид входного реактивного сопротивления (при $R_1 = R_2 = 0$ )			
Характеристическое сопротивление	$\rho = \sqrt{L/C}$	$\rho = \sqrt{\frac{L}{C}}$ , где $L = L_1 + L_2$	$\rho = \sqrt{\frac{L}{C}}$ , где $C = \frac{C_1 C_2}{C_1 + C_2}$
Добротность	$Q = \rho/R$ , где $R = R_1 + R_2$		
Коэффициент включения	—	$\rho = L_1/(L_1 + L_2) = L_1/L$	$\rho = C/C_2$
Сопоставление на частоте параллельного резонанса	$R_{эп} = \rho^2/R = \rho Q$	$R_{эп} = \rho^2 Q, 0 \leq \rho \leq 1$	$R_{эп} = \rho^2 \rho Q, 0 \leq \rho \leq 1$

2.4. Резонансная кривая параллельного контура.  
Полоса пропускания.

Для определения резонансных свойств параллельного контура воспользуемся выражением (2.1), справедливым при любых соотношениях между частотой  $\omega$  источника сигнала (генератора) и резонансной частотой контура  $\omega_p$ . При выполнении неравенств (2.5) выражение (2.1) принимает вид

$$\dot{Z}_{AB} \approx \frac{-X_1 X_2}{R + j(X_1 + X_2)}, \quad (2.22)$$

где  $R = R_1 + R_2$ . Пусть имеем простой параллельный контур - рис. 2.3. Тогда, полагая в (2.22)  $X_1 = \omega L$ ,  $X_2 = -\frac{1}{\omega C}$  получим

$$\dot{Z}_{AB}(\omega) = \frac{L/C}{R + j(\omega L - \frac{1}{\omega C})} = \frac{R_{эп}}{1 + ja}, \quad (2.23)$$

где  $R_{эп} = \frac{L}{CR} = \frac{\rho^2}{R}$ ,  $a = Q(\frac{\omega}{\omega_p} - \frac{\omega_p}{\omega})$  - обобщенная расстройка контура.

На практике параллельный контур используют в качестве нагрузки в усилительных, умножительных и других каскадах. Эквивалентная схема такого каскада показана на рис. 2.8, где под  $R_i$  понимается внутреннее сопротивление генератора. Ток  $\dot{I}$  в неразветвленной части схемы на произвольной частоте  $\omega$  равен

$$\dot{I}(\omega) = \dot{E} / [R_i + \dot{Z}_{AB}(\omega)].$$

а на резонансной частоте этот же ток  $\dot{I}(\omega_p) = E / (R_i + R_{эп})$ .

Поделив  $\dot{I}(\omega)$  на  $\dot{I}(\omega_p)$  с учетом соотношения (2.23), получим уравнение резонансной кривой по току для рассматриваемой схемы

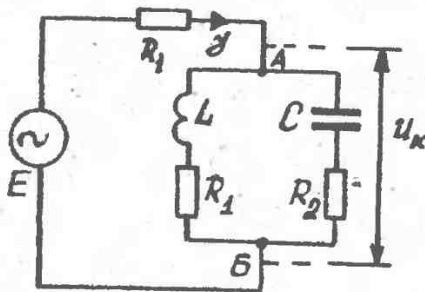


Рис. 2.8

$$n_y = \frac{\dot{I}(\omega)}{\dot{I}(\omega_p)} = \frac{(1+\beta)(1+ja)}{1+\beta+ja}, \quad (2.24)$$

где обозначено

$$\beta = \frac{R_{зр}}{R_i}. \quad (2.25)$$

Вычислив модуль выражения (2.24), получим

$$n_y = (1+\beta) \frac{\sqrt{1+a^2}}{\sqrt{(1+\beta)^2+a^2}} = \frac{\sqrt{1+Q^2(\omega/\omega_p - \omega_p/\omega)^2}}{\sqrt{1+Q_3^2(\omega/\omega_p - \omega_p/\omega)^2}}, \quad (2.26)$$

где

$$Q_3 = \frac{Q}{1+\beta} = \frac{Q}{1+R_{зр}/R_i} \quad (2.27)$$

— эквивалентная добротность контура с учетом шунтирующего действия внутреннего сопротивления  $R_i$  генератора.

Напряжение на контуре на произвольной частоте  $\omega$

$\dot{U}_x(\omega) = \dot{I}(\omega) \cdot \dot{Z}_{AB}(\omega)$ , а на резонансной частоте это же напряжение  $\dot{U}_x(\omega_p) = \dot{I} R_{зр} / (R_i + R_{зр})$ . Поделив  $\dot{U}_x(\omega)$  на  $\dot{U}_x(\omega_p)$ ,

учтя соотношение (2.23), получим уравнение резонансной кривой по напряжению

$$n_u = \frac{\dot{U}_x(\omega)}{\dot{U}_x(\omega_p)} = \frac{1+\beta}{1+\beta+ja}.$$

Вычислив модуль этого выражения, получим

$$n_u = \frac{1+\beta}{\sqrt{(1+\beta)^2+a^2}} = \frac{1}{\sqrt{1+Q_3^2(\omega/\omega_p - \omega_p/\omega)^2}}. \quad (2.28)$$

Резонансные кривые по току и напряжению при разных  $\beta$  изображены на рис. 2.9. Рассмотрим частные случаи.

1. Пусть  $\beta \gg 1$  или  $R_{зр} \gg R_i$ . Тогда  $Q_3 \rightarrow 0$ , уравнение резонансной кривой по току принимает вид

$$n_y \approx \sqrt{1+Q^2(\omega/\omega_p - \omega_p/\omega)^2},$$

а уравнение резонансной кривой по напряжению  $n_u = 1$ . Таким образом, в этом предельном случае лишь поведение тока в неразветвленной части цепи может быть индикатором резонанса.

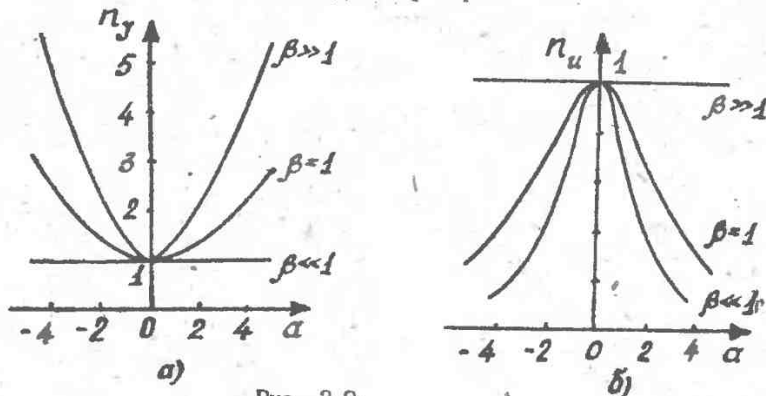


Рис. 2.9

2. Пусть, наоборот,  $\beta \ll 1$  или  $R_{зр} \ll R_i$ . Такой случай часто встречается на практике и соответствует применению параллельного контура в транзисторных и пентодных ламповых схемах. Указанные приборы обладают большим внутренним сопротивлением  $R_i$ . В этом случае  $Q_з \rightarrow Q$ , уравнение резонансной кривой по току  $n_y \rightarrow 1$ , а уравнение резонансной кривой по напряжению

$$n_u \approx \frac{1}{\sqrt{1 + \alpha^2}} = \frac{1}{\sqrt{1 + Q^2(\omega/\omega_p - \omega_p/\omega)^2}}$$

В этом предельном случае индикатором резонанса служит поведение напряжения на контуре.

3. При  $\beta = 1$  ( $R_{зр}$  и  $R_i$  сравнимы по величине) индикатором резонанса может служить как поведение тока в неразветвленной части схемы, так и поведение напряжения на контуре.

С учетом шунтирующего действия внутреннего сопротивления генератора полюса пропускания параллельного контура на уровне 0,7 равна

$$\Pi_{0,7} = \frac{\omega_p}{Q_з} = \frac{\omega_p(1 + R_{зр}/R_i)}{Q} > \frac{\omega_p}{Q} \quad (2.29)$$

Как следует из (2.29), учет внутреннего сопротивления  $R_2$  генератора приводит к расширению полосы пропускания контура.

### 2.5. Схема замещения параллельного контура

Как отмечалось выше, записав полное сопротивление между точками А и Б (рис. 2.1) в форме  $\dot{Z}_{AB} = R_3 + jX_3$ , представляем параллельный контур в виде последовательной схемы замещения - рис. 2.2. Запишем выражение (2.23) в виде

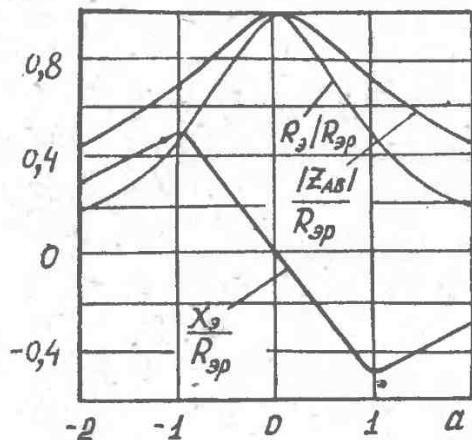


Рис. 2.10

Схемы замещения параллельного контура полезны при решении задач - см. задачи 2.2, 2.3, 2.4.

### 2.6. Задачи.

- 2.1. Рассчитать емкость и индуктивность простого параллельного контура, если  $\lambda_p = 900$  м,  $R = 10$  Ом,  $R_{3p} = 9 \cdot 10^3$  Ом.
- 2.2. Найти значения активной  $R_3$  и реактивной  $X_3$  составляющих полное сопротивление простого параллельного контура, питаемого генератором с частотой  $f = 935$  кГц. Параметры контура  $L = 240$  мкГн,  $C = 120$  пФ,  $R = 20$  Ом.

$$\dot{Z}_{AB}(a) = \frac{R_{3p}}{1 + ja} = R_3 + jX_3,$$

где

$$R_3 = \frac{R_{3p}}{1 + a^2}, \quad (2.30)$$

$$X_3 = -j \frac{a R_{3p}}{1 + a^2}. \quad (2.31)$$

Графики функций  $\frac{R_3(a)}{R_{3p}}$ ,  $\frac{X_3(a)}{R_{3p}}$  и

$\frac{R_{3p}}{Z_{AB}(a)} = 1/\sqrt{1+a^2}$  представлены на рис. 2.10.

2.3. Простой параллельный контур настроен на длину волны  $\lambda = 400$  м. Параметры контура  $L = 200$  мкГн,  $R = 10$  Ом. Чему равны резонансное сопротивление контура  $R_{зр}$ , его добротность  $Q$  и полоса пропускания  $\Pi_{0,7}$ ? На какой частоте реактивная составляющая контура имеет максимальное значение и емкостной характер?

2.4. В схеме простого параллельного контура (рис. 2.8)  $R_i = 10$  кОм,  $R_{зр} = 50$  кОм. Для настройки контура в резонанс можно использовать либо амперметр, либо вольтметр. Решить, чем лучше настраиваться в резонанс в этих условиях - вольтметром или амперметром. Определить границы шкалы прибора, если напряжение генератора  $U_n = 200$  В. Настройку вести в пределах полосы пропускания. Добротность контура  $Q = 50$ .

2.5. Найти мощность, выделяемую в простом параллельном контуре, если известно, что  $R_{зр} = 40$  кОм, добротность  $Q = 30$ , а амплитуда тока в контуре равна 0,6 А.

2.6. Простой параллельный контур, параметры которого  $R = 16,3$  Ом,  $L = 338$  мкГн,  $C = 300$  пФ (рис. 2.11), подключен к источнику гармонической ЭДС с амплитудой 200 В и внутренним сопротивлением  $R_i = 69$  кОм. Чему равны эквивалентная добротность контура и полоса его пропускания, если нагрузить контур на сопротивление  $R_n = 138$  кОм?

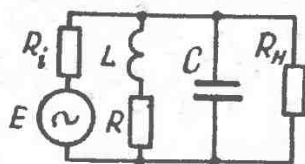


Рис. 2.11

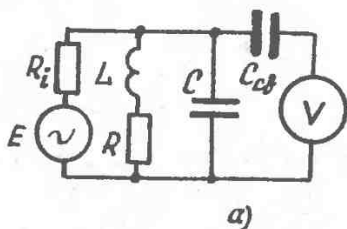
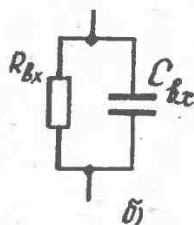


Рис. 2.12



2.7. Для измерения добротности простого параллельного контура собрана схема - рис. 2.12а. Входная цепь вольтметра описывается эквивалентной схемой, представленной на рис. 2.12б. Каким должно быть входное сопротивление вольтметра  $R_{вх}$ .

чтобы при заданных параметрах  $L = 10$  мкГн,  $C = 88$  пФ,  $R = 5$  Ом,  $R_1 = 100$  кОм,  $C_{св} = 1$  мкФ,  $C_{кв} = 2$  пФ ошибка измерения добротности не превышала 5%?

2.8. Во сколько раз сопротивление простого параллельного контура на частоте  $n\omega_p$  меньше, чем на резонансной частоте  $\omega_p$ . Здесь  $n = 2, 3, 4, \dots$  - номер гармоники. Определить  $|Z(\omega_p)|$  и  $|Z(2\omega_p)|$ , если  $L = 250$  мкГн,  $C = 1000$  пФ,  $R = 5$  Ом.

2.9. Найти точное выражение для резонансной частоты и сопротивления при резонансе параллельного контура (рис. 2.13), считая, что  $R_1 \ll \omega L$ , а  $R_2 \gg R_1$ .

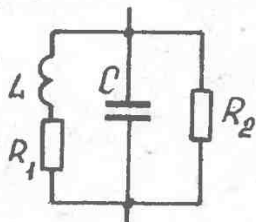


Рис. 2.13

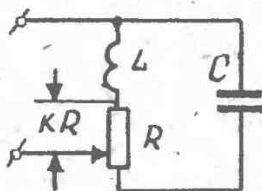


Рис. 2.14

2.10. При перемещении ползунка (рис. 2.14) сопротивление распределяется между ветвями параллельного контура, у которого  $L = 2$  мГн,  $C = 500$  пФ,  $R = 1$  кОм. Определить пределы изменения резонансной частоты контура при изменении параметра  $K$  от 0 до 1. Сделайте вывод о целесообразности использования на практике такого способа изменения резонансной частоты параллельного контура.

2.11. Вычислить частоты резонансов токов  $f_{рт}$  и напряжений  $f_{рн}$ , характеристическое сопротивление  $\rho$ , добротность  $Q$ , коэффициент включения  $\rho$ , резонансное сопротивление  $R_{зр}$ , эквивалентную добротность  $Q_3$ , полосу пропускания  $\Pi_{0,7}$  и значение напряжения на контуре на частотах  $f_{рт}$  и  $f_{рн}$ . Параметры элементов цепи (рис. 2.15):  $L = 220$  мдГн,  $C_1 = 48$  пФ,  $C_2 = 320$  пФ,  $R = 16$  Ом,  $R_1 = 100$  кОм,  $E = 24$  В.

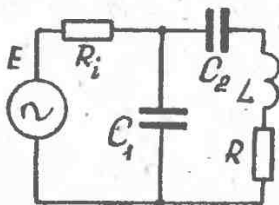


Рис. 2.15.

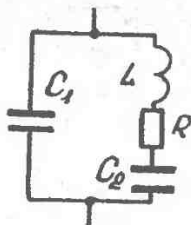


Рис. 2.16

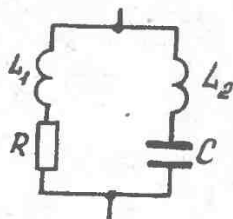


Рис. 2.17

2.12. Задан параллельный контур III-го вида - рис. 2.16. Найти  $C_1$  и  $C_2$ , если  $R_{зр} = 10^4$  Ом,  $L = 150$  мкГн,  $C = C_1 C_2 / (C_1 + C_2) = 500$  пФ,  $R = 10$  Ом.

2.13. Задан параллельный контур II-го вида - рис. 2.17. Дано:  $L = L_1 + L_2 = 150$  мкГн,  $C = 600$  пФ,  $R = 10$  Ом. Определить, как распределить индуктивность по ветвям, чтобы  $R_{зр} = 10$  кОм.

2.14. Определить вид и нарисовать схему сложного параллельного контура, найти его сопротивление потерь  $R$ , если на частотах  $f_1 = 17$  МГц и  $f_2 = 51$  МГц входное сопротивление контура  $Z_{вх}$  достигает соответственно своего максимального и минимального значений, причем  $Z_{вх макс} = 20$  кОм, а на частоте  $f_1$  добротность контура  $Q = 40$ .

2.15. Рассчитать параметры сложного параллельного контура, который на частоте  $10^7 \frac{\text{рад}}{\text{сек}}$  должен обладать активным сопротивлением  $10$  кОм, а на частоте  $2 \cdot 10^7 \frac{\text{рад}}{\text{сек}}$  - активным сопротивлением  $10$  Ом. Полное сопротивление потерь контура  $20$  Ом.

2.16. Определить резонансные частоты, характеристическое сопротивление, добротность и сопротивление на частоте параллельного резонанса сложного параллельного контура - рис. 2.18, если  $R_1 = 12$  Ом,  $L_1 = 220$  мкГн,  $C_1 = 270$  пФ,  $R_2 = 9,6$  Ом,  $L_2 = 640$  мкГн,  $C_2 = 410$  пФ.

2.17. Через неразветвленную часть простого параллельного контура с параметрами  $L = 20$  мкГн,  $C = 200$  пФ,  $R = 10$  Ом, проходит ток

$$i(t) = I_0(1 + m \cos \Omega t) \cdot \cos \omega_p t, \text{ A.}$$

Амплитуда несущей  $I_0 = 10 \text{ A}$ , глубина модуляции  $m = 30\%$ , частота модуляции  $F = 500 \text{ Гц}$ . Контур настроен на частоту  $\omega_p$ . Найти напряжение на контуре  $u(t)$ . Нарисовать спектры тока и напряжения.

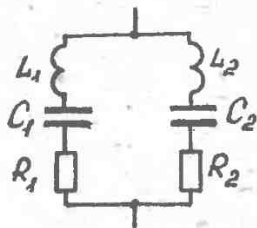


Рис. 2.18

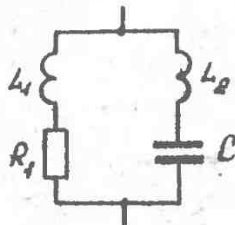


Рис. 2.19

2.18. Колебательный контур (рис. 2.18) имеет частоту  $25 \text{ МГц}$  параллельного резонанса. При этом правая ветвь контура настроена на вдвое большую частоту (частота последовательного резонанса). Определить параметры контура, если  $R_1 = 10 \text{ Ом}$ , а эквивалентное сопротивление  $18 \text{ кОм}$ .

2.19. В коллекторный контур УВЧ (рис. 2.20) включены разделительные конденсаторы  $C_1$  и  $C_2$ . Емкость конденсатора настройки  $C_{\text{мин}} = 30 \text{ пФ}$ ,  $C_{\text{макс}} = 300 \text{ пФ}$ . Емкости  $C_1 = C_2 = 20.000 \text{ пФ}$ . Убедиться, что разделительные конденсаторы не влияют на настройку контура.

2.20. Параллельный колебательный контур с параметрами  $L = 10 \text{ мкГн}$ ,  $C = 100 \text{ пФ}$ ,  $R = 5 \text{ Ом}$  включается в качестве нагрузки УВЧ - рис. 2.21а. Внутреннее сопротивление транзистора  $R_i$  на рабочей частоте шунтирует контур - рис. 2.21б. Определить величину  $R_i$ , при которой добротность контура снижается не более, чем на  $10\%$ .

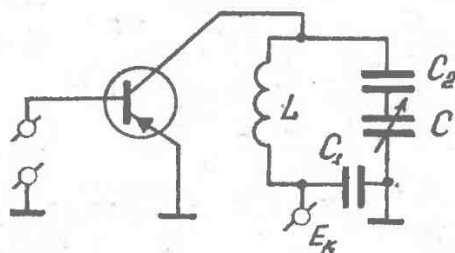


Рис. 2.20

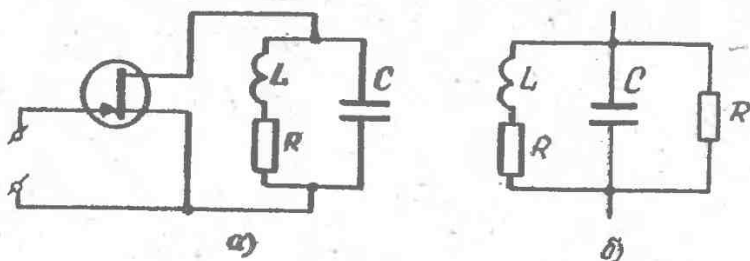


Рис. 2.21

2.21. Определить, в какие кривые вырождаются кривые активной  $R_3$  и реактивной  $X_3$  составляющих входного сопротивления контура I-го вида (рис. 2.3) в случае, когда  $R_1 + R_2 \rightarrow 0$ .

2.22. Заменить схему контура I-го вида (рис. 2.3) на резонансной частоте эквивалентной схемой, представляющей собой параллельное

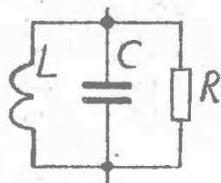


Рис. 2.22

соединение контура без потерь и активного сопротивления  $R$  - рис. 2.22. Определить сопротивление  $R$ .

РАЗДЕЛ 3. СВЯЗАННЫЕ КОНТУРА

3.1. Амплитудно-частотная характеристика индуктивно связанных контуров.

На практике наиболее часто применяется система связанных колебательных контуров с индуктивной или трансформаторной связью - рис. 3.1. Степень связи между контурами определяется коэффици-

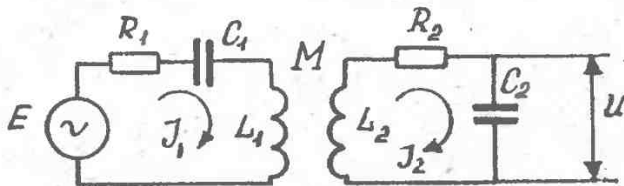


Рис. 3.1

ентом связи  $K = M/\sqrt{L_1 L_2}$ , ( $0 < K < 1$ ), где  $M$  - коэффициент взаимной индукции. В радиотехнике используются связанные контура, в которых  $K \approx 0,01 + 0,05$ .

В общем случае два связанных контура имеют разные параметры  $L$ ,  $C$ ,  $R$  и настроены на разные, хотя и достаточно близкие частоты. Положим, что параметры контуров одинаковы, т.е.

$C_1 = C_2 = C$ ,  $R_1 = R_2 = R$ ,  $L_1 = L_2 = L$ . Запишем уравнения системы двух индуктивно связанных контуров в комплексной форме

$$\left. \begin{aligned} \dot{Z}(\omega) \dot{J}_1(\omega) - j\omega M \dot{J}_2(\omega) &= \dot{E}(\omega), \\ -j\omega M \dot{J}_1(\omega) + \dot{Z}(\omega) \dot{J}_2(\omega) &= 0, \end{aligned} \right\} \quad (3.1)$$

где  $\dot{Z}(\omega) = j\omega L + R + 1/j\omega C$ ,

$$\dot{J}_2(\omega) = j\omega M \dot{E} / (\omega^2 M^2 + \dot{Z}^2)$$

емкости  $\dot{u}(\omega) = \dot{J}_2 / j\omega C = \dot{E}(\omega) M / C(\omega^2 M^2 + \dot{Z}^2)$

коэффициент передачи по напряжению

$$K_V = \frac{\dot{u}(\omega)}{\dot{E}(\omega)} = \frac{M}{C} \frac{1}{(\omega^2 M^2 + \dot{Z}^2)} = \frac{M}{C} \frac{1}{\omega^2 M^2 + R^2 - \omega^2 L^2 (1 - \omega_0^2/\omega^2)^2 + 2Rj\omega L (1 - \omega_0^2/\omega^2)}$$

где  $\omega_0^2 = 1/LC$  - резонансная частота каждого из контуров. Рассмотрим поведение  $|K_V|$  вблизи частоты  $\omega_0$ , положив  $\omega L \approx \omega_0 L = \rho$ , где  $\rho$  - характеристическое сопротивление каждого из контуров. Запишем выражение  $(1 - \omega_0^2/\omega^2)$  в виде

$$1 - \frac{\omega_0^2}{\omega^2} = \frac{\omega^2 - \omega_0^2}{\omega^2} = \frac{(\omega - \omega_0)(\omega + \omega_0)}{\omega^2} \approx - \frac{2\Delta\omega}{\omega_0} = -\varepsilon,$$

где  $\Delta\omega = \omega_0 - \omega$  - небольшая абсолютная расстройка частоты  $\omega$  генератора относительно резонансной частоты  $\omega_0$ ,  $\Delta\omega \ll \omega_0$ ,  $\omega$ ;  $\varepsilon = 2\Delta\omega/\omega_0 \ll 1$  - относительная расстройка. Тогда запишем выражение (3.2) в виде  $K_V(\omega) = |K_V(\omega)|e^{j\varphi}$ , где

$$|K_V(\omega)| = A = \frac{K}{\sqrt{(d^2 + \kappa^2)^2 + 2(d^2 - \kappa^2)\varepsilon^2 + \varepsilon^4}} \quad (3.3)$$

- модуль коэффициента передачи, выражающий АЧХ системы индуктивно связанных контуров;

$$\varphi = \text{arctg} \frac{2\varepsilon/d}{(\kappa/d)^2 + 1 - (\varepsilon/d)^2} \quad (3.4)$$

- ФЧХ системы связанных контуров, характеризующая сдвиг фазы между напряжением генератора и напряжением на емкости выходного (второго) контура;  $d = 1/Q$  - затухание,  $Q = \omega_0 L/R$  - добротность каждого из индуктивно связанных контуров,  $\kappa = M/\sqrt{L_1 L_2} = M/L$  - коэффициент связи. Найдём частоту, т.е. значение  $\varepsilon$ , при которой  $|K_V|$  имеет максимум. Вычислив производную  $dA/d\varepsilon$  и приравняв ее нулю, получим два уравнения для определения положения 3-х экстремальных точек

$$\varepsilon = 0, \quad d^2 - \kappa^2 + \varepsilon^2 = 0.$$

Пусть  $\kappa > d$ . Экстремальная точка при  $\varepsilon = 0$  есть точка минимума, а уравнение  $d^2 - \kappa^2 + \varepsilon^2 = 0$  определяет положение двух максимумов. Решив уравнение, получим

$$\varepsilon = \pm \sqrt{\kappa^2 - d^2} \quad \text{или} \quad \omega = \frac{\omega_0}{\sqrt{1 \pm \sqrt{\kappa^2 - d^2}}} \quad (3.5)$$

Таким образом, имеется две частоты

$$\omega_1 = \frac{\omega_0}{\sqrt{1 + \sqrt{K^2 - d^2}}} \quad \text{и} \quad \omega_2 = \frac{\omega_0}{\sqrt{1 - \sqrt{K^2 - d^2}}} \quad (3.6)$$

причем  $\omega_1$  ниже, а  $\omega_2$  - выше частоты  $\omega_0$ . Частоты  $\omega_1$  и  $\omega_2$  зависят от коэффициента связи  $K$  и называются частотами связи. Разница между  $\omega_1$  и  $\omega_2$  тем больше, чем больше  $K$ .

Пусть  $K = d$ . Связь, соответствующая значению  $K = d$  называется критической. При этом  $\omega_1 = \omega_2 = \omega_0$ .

При  $K < d$  формула (3.5) несправедлива. Исследование показывает, что при  $K < d$  имеется один максимум на частоте  $\omega_0$ . Действительно, при  $K < d$ , как видно из выражения (3.3), все коэффициенты в знаменателе при  $\varepsilon$  положительны, следовательно, при любом  $\varepsilon$  значение  $|K_v|$  меньше максимального значения  $K_0 = K/(d^2 + K^2)$ , которое имеет место при  $\varepsilon = 0$ , т.е. при  $\omega = \omega_0$ .

На рис. 3.2 показаны частотные характеристики системы индуктивно связанных контуров, построенные по формуле

$$\frac{|K_v|}{|K_{v\max}|} = \frac{|A|}{|A_{\max}|} = \frac{2k/d}{\sqrt{[1+(k/d)^2]^2 + 2[1-(k/d)^2](\varepsilon/d)^2 + (\varepsilon/d)^4}} \quad (3.7)$$

в которой значение  $|K_{v\max}| = |A_{\max}| = \frac{1}{2d}$  получено подстановкой в выражение (3.3) значения  $\varepsilon^2 = K^2 - d^2$ , соответствующее частотам связи. Кривая при  $k/d = 1$  отличается от резонансной кривой одиночного контура (пунктирная кривая на рис. 3.2) тем, что имеет более плоскую вершину и более крутые скаты; такая кривая представляет некоторое приближение к идеальной прямоугольной характеристике.

### 3.2. Полоса пропускания индуктивно связанных контуров

Как и в случае одиночного контура, полоса пропускания системы индуктивно связанных контуров определяется как ширина частотной характеристики на уровне  $1/\sqrt{2} \approx 0,7$  от максимальной ординаты  $A_{\max}$ . Но в случае связанных контуров полоса пропускания зависит не только от затухания  $d$ , но и от коэффициента связи  $K$ . При увеличении  $K$  разнос частот связи возрастает, полоса пропускания расширяется, но при этом углубляется провал

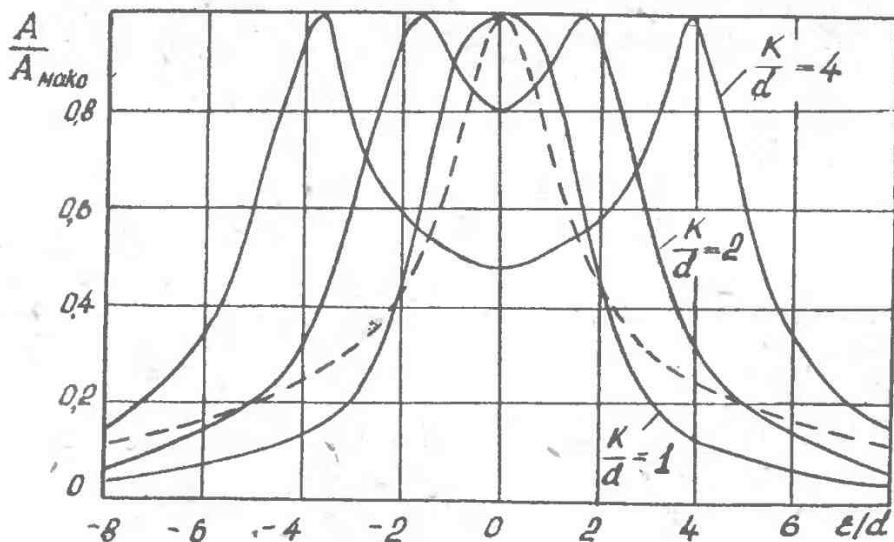
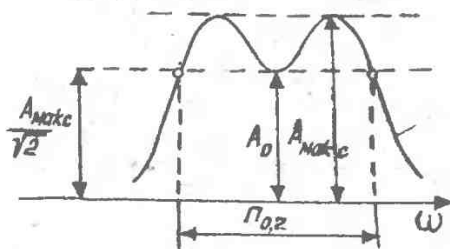


Рис. 3.2

характеристики на частоте  $\omega_0$ . Поэтому в качестве дополнительного условия, позволяющего найти однозначное решение задачи, потребуем, чтобы и минимум характеристики лежал на высоте  $1/\sqrt{2}$  от  $A_{\text{макс}}$  - рис.3.3



Составим два уравнения для случая  $\kappa > d$  (сильная связь между контурами)

$$\frac{A}{A_{\text{макс}}} =$$

Рис. 3.3.

$$= \frac{2\kappa/d}{\sqrt{[1+(\kappa/d)^2]^2 + 2[1-(\kappa/d)^2](e/d)^2 + (e/d)^4}} = 1/\sqrt{2}, \quad (3.8)$$

$$\frac{A_0}{A_{\text{макс}}} = \frac{2\kappa/d}{1+(\kappa/d)^2} = \frac{1}{\sqrt{2}}. \quad (3.9)$$

Из (3.9) находим  $(\kappa/d) = 1 + \sqrt{2} \approx 2,41$ . Подставив это значение в (3.8), получим после решения этого уравнения

$$|\varepsilon| = \frac{2\Delta\omega}{\omega_0} = \frac{\Pi_{07}}{\omega_0} = 2\sqrt{1+\sqrt{2}} \cdot d \approx 3,1 \frac{1}{Q},$$

откуда  $\Pi_{07} = 3,1 \frac{\omega_0}{Q}, (\kappa > d).$  (3.10)

При  $\kappa < d$  (слабая связь между контурами) уравнение для определения полосы пропускания имеет вид

$$\frac{A}{A_0} = \frac{d^2 + \kappa^2}{\sqrt{(d^2 + \kappa^2)^2 + 2(d^2 - \kappa^2)\varepsilon^2 + \varepsilon^4}} = \frac{1}{\sqrt{2}}.$$

Решив последнее уравнение, получим

$$\varepsilon = \frac{2\Delta\omega}{\omega_0} = d \cdot \sqrt{\left(\frac{\kappa}{d}\right)^2 - 1 + \sqrt{2[1 + (\kappa/d)^4]}} \quad \text{или}$$

$$\Pi_{07} = \frac{\omega_0}{Q} \sqrt{\left(\frac{\kappa}{d}\right)^2 - 1 + \sqrt{2[1 + (\kappa/d)^4]}}. \quad (3.11)$$

В частности, при критической связи ( $\kappa = d$ ), как следует из (3.11), полоса пропускания

$$\Pi_{07} = \frac{\sqrt{2} \omega_0}{Q}, \quad (\kappa = d). \quad (3.12)$$

### 3.3. Задачи

3.1. Резонансные частоты двух индуктивно связанных контуров (рис. 3.4) соответственно равны  $f_1 = 8$  МГц,  $f_2 = 10$  МГц, а их емкости 50 и 80 пФ. При какой взаимной индуктивности  $M$  можно получить коэффициент связи  $K = 0,05$ ?

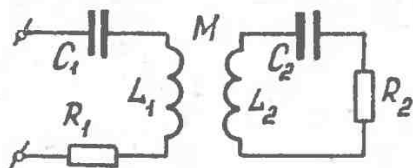


Рис. 3.4

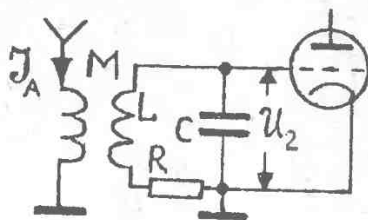


Рис. 3.5

3.2. Приемная антенна индуктивно связана с настроенным в резонанс контуром, у которого  $C = 300 \text{ пФ}$ ,  $R = 8 \text{ Ом}$  - рис. 3.5. Определить напряжение  $U_2$  на сетке лампы, если ток в антенне  $I_A = 0,17 \text{ мкА}$ , коэффициент взаимной индукции  $M = 20 \text{ мкГн}$ .

3.3. Найти резонансную частоту контура I (рис. 3.6), индуктивно связанного с апериодическим контуром II. Определить пределы изменения настройки контура I при помощи контура II, если  $L_1 = 40 \text{ мкГн}$ ,  $C_1 = 250 \text{ пФ}$ ,  $L_2 = 5 \text{ мкГн}$ ,  $M_{\text{мин}} = 0$ ,  $M_{\text{макс}} = 4 \text{ мкГн}$ .

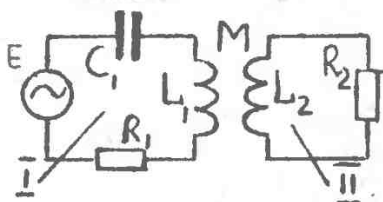


Рис. 3.6

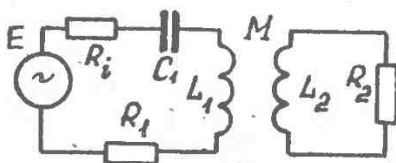


Рис. 3.7

3.4. Генератор имеет внутреннее сопротивление  $R_i = 200 \text{ Ом}$  и должен быть нагружен на сопротивление нагрузки  $R_2 = 2000 \text{ Ом}$ . Для согласования нагрузки с внутренним сопротивлением генератора применена схема, представленная на рис. 3.7. Определить коэффициент связи  $M$  между контурами, если  $R_1 = 20 \text{ Ом}$  и  $L_2 = 800 \text{ мкГн}$ . При этом считается, что первый контур настроен в резонанс.

3.5. Даны два одинаковых индуктивно связанных контура, настроенные в отдельности на частоту  $f_0 = 2 \cdot 10^6 \text{ Гц}$ . Определить частоты связи  $f_1$  и  $f_2$ , если известно, что активные сопро-

тивления каждого контура  $R = 10 \text{ Ом}$ ,  $X_{L2} = \omega M = 16 \text{ Ом}$ , а емкость каждого контура  $100 \text{ пФ}$ .

3.6. Система двух связанных колебательных контуров (рис. 3.8) имеет следующие параметры:  $X_{L1} = X_{C1} = 600 \text{ Ом}$ ,  $X_{L2} = X_{C2} = 400 \text{ Ом}$ ,  $R_1 = R_1' = R_2 = 100 \text{ Ом}$ ,  $\omega_0 = 10^6 \text{ рад/сек}$ ,  $M = 20 \text{ мкГн}$ . Определить сопротивление между точками  $A$  и  $B$  на частоте  $\omega_0$ .

3.7. Два одинаковых индуктивно связанных контура, параметры которых  $L_1 = L_2 = 250 \text{ мкГн}$ ,  $R_1 = R_2 = 10 \text{ Ом}$ , настроены отдельно на одну и ту же частоту  $f_0 = 5 \cdot 10^5 \text{ Гц}$ . Определить: полосу пропускания каждого контура; полосу пропускания индуктивно связанных контуров при критической связи; максимальную полосу пропускания двух связанных контуров; при каких коэффициентах связи полоса пропускания двух связанных контуров будет: а) в  $\sqrt{2}$  меньше, б) в 1,2 раза больше, в) в 2 раза больше по сравнению с полосой пропускания одиночного контура.

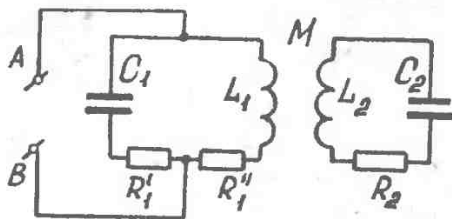


Рис. 3.8

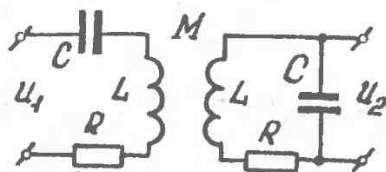


Рис. 3.9

3.8. Полосовой фильтр состоит из двух одинаковых контуров, связанных индуктивно - рис. 3.9. Параметры контуров:  $L_1 = L_2 = 400 \text{ мкГн}$ ,  $C_1 = C_2 = 100 \text{ пФ}$ ,  $R_1 = R_2 = 10 \text{ Ом}$ . Определить наибольшую полосу пропускания фильтра и коэффициент связи, при котором эта полоса обеспечивается. Найти коэффициент взаимной индукции  $M$ .

3.9. На вход связанной системы, состоящей из двух одинаковых колебательных контуров (рис. 3.9), подается амплитудно-модулированное напряжение  $U_1 = U_0(1 + m \sin \Omega t) \sin \omega_0 t$ .

Найти напряжение  $U_2$  на конденсаторе второго контура, считая, что каждый из контуров в отдельности настроен на частоту  $\omega_0$ .

#### ЛИТЕРАТУРА

1. ЗАЕЗДНЫЙ А.М. Сборник задач и упражнений по курсу "Теоретическая радиотехника". М.: Гос. изд-во лит-ры по вопросам связи и радио, 1957.
2. ГОНОРОВСКИЙ И.С. Радиотехнические цепи и сигналы. Изд-е 2-е. М.: Сов.Радио, 1964.
3. ХАРКЕВИЧ А.А. Основы радиотехники. М.: Гос. изд-во лит-ры по вопросам связи и радио, 1962.
4. ШЕВЕС М.Р., КАБЛУКОВА М.В. Задачник по теории линейных электрических цепей. Изд-е 4-е. М.: Высш. шк., 1990.

#### СОДЕРЖАНИЕ

	Стр.
РАЗДЕЛ 1. Последовательный колебательный контур.....	3-10
РАЗДЕЛ 2. Параллельный колебательный контур.....	11-28
РАЗДЕЛ 3. Связанные контура.....	29-36
ЛИТЕРАТУРА.....	36